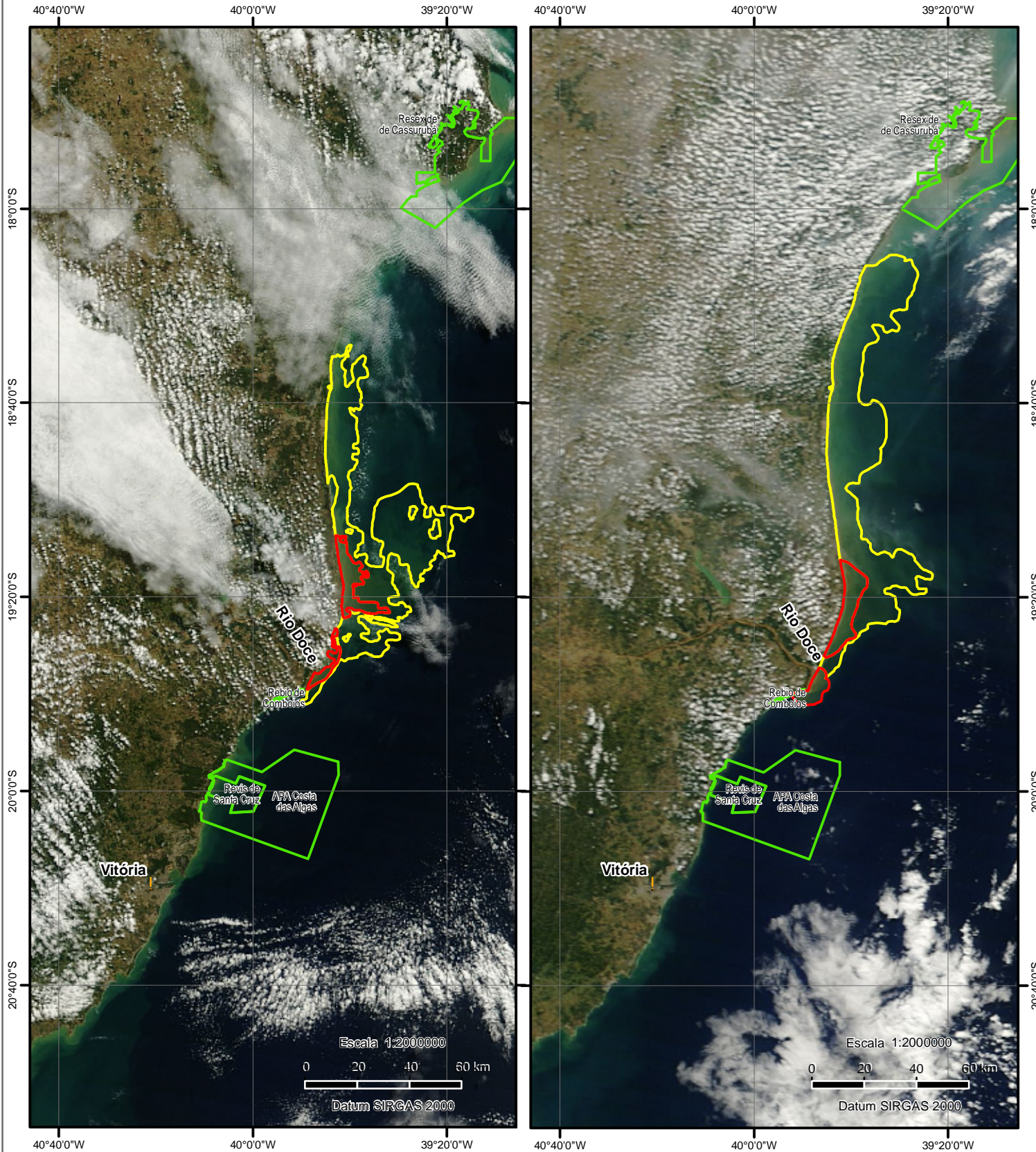


## Plumas de Sedimentos - Foz do Rio Doce - 30/04/16 e 04/05/16



### Estimativa de área dos polígonos (km<sup>2</sup>)

30/04/16

- pluma de sedimentos de maior concentração: 219
- pluma de sedimentos de menor concentração: 1638

04/05/16

- pluma de sedimentos de maior concentração: 275
- pluma de sedimentos de menor concentração: 2190

Fonte: NUGEO/SP

Data de Detecção: 04/05/16

### Imagens de Fundo:

Esquerda: Terra/MODIS

Fonte: NASA/Worldview

Data: 30 de abril de 2016

Direita: Terra/MODIS

Fonte: NASA/Worldview

Data: 04 de maio de 2016

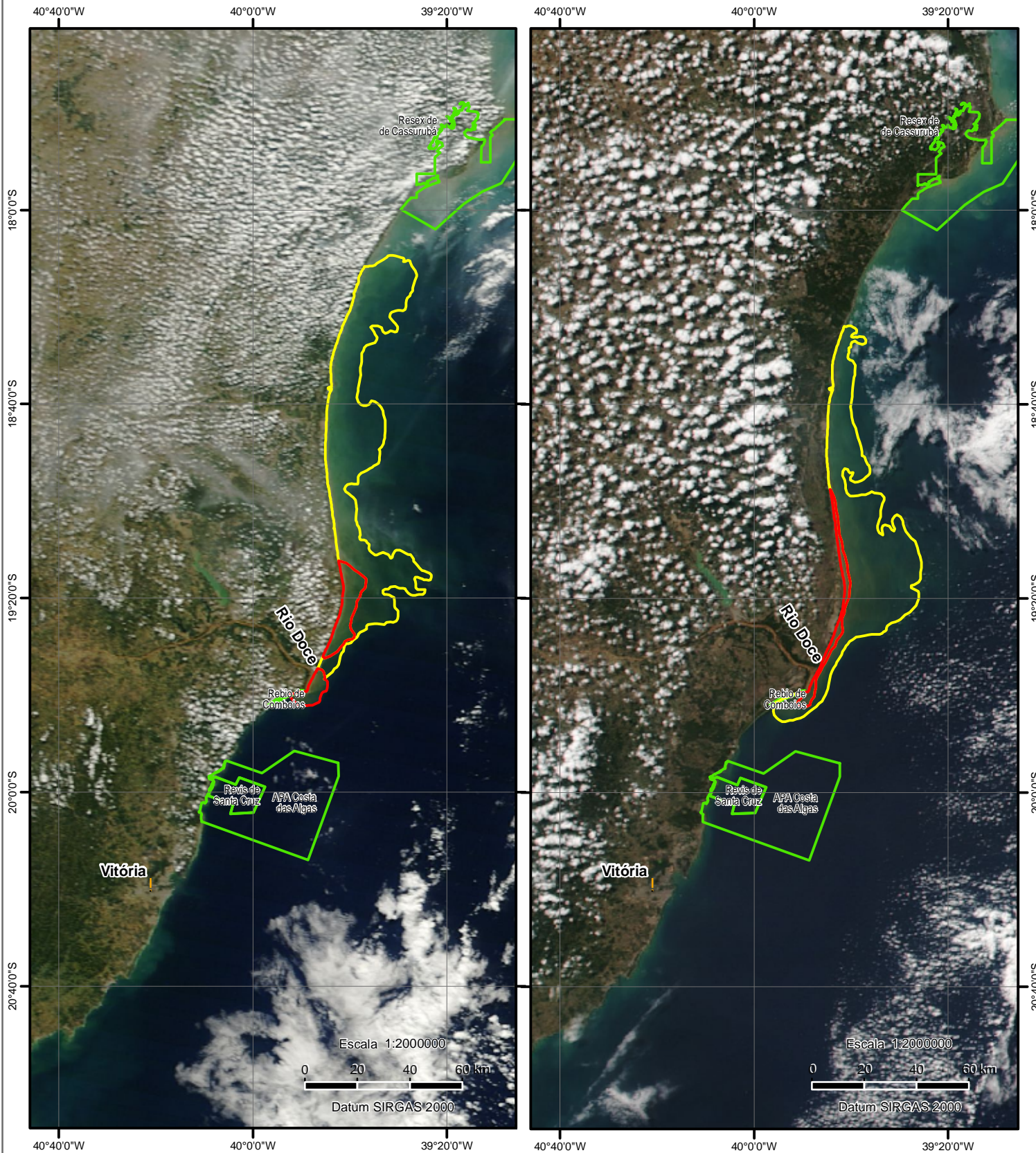
Mapa elaborado através da interpretação visual de imagens de satélite. Áreas de nuvem e sombra de nuvem são excluídas. Vários fatores influenciam o tamanho e a distribuição das plumas, tais como ventos superficiais, correntes, vazão e turbidez na foz do Rio Doce. Sob certas condições, trechos da pluma de baixa concentração podem decorrer dos sedimentos de outros rios que desaguam na região.

Mapa elaborado pelo Núcleo de Geoprocessamento e Monitoramento Ambiental da Superintendência do IBAMA no Estado de São Paulo  
- NUGEO/SP

### Legenda

- Pluma de sedimentos de maior concentração
- Pluma de sedimentos de menor concentração
- Unidades de Conservação Federais

## Plumas de Sedimentos - Foz do Rio Doce - 04/05/16 e 05/05/16



### Estimativa de área dos polígonos (km<sup>2</sup>)

04/05/16

- pluma de sedimentos de maior concentração: 275
- pluma de sedimentos de menor concentração: 2190

05/05/16

- pluma de sedimentos de maior concentração: 129
- pluma de sedimentos de menor concentração: 1786

Fonte: NUGEO/SP

Data de Detecção: 06/05/16

### Imagens de Fundo:

Esquerda: Terra/MODIS

Fonte: NASA/Worldview

Data: 04 de maio de 2016

Direita: Suomi NPP/VIIRS

Fonte: NASA/Worldview

Data: 05 de maio de 2016

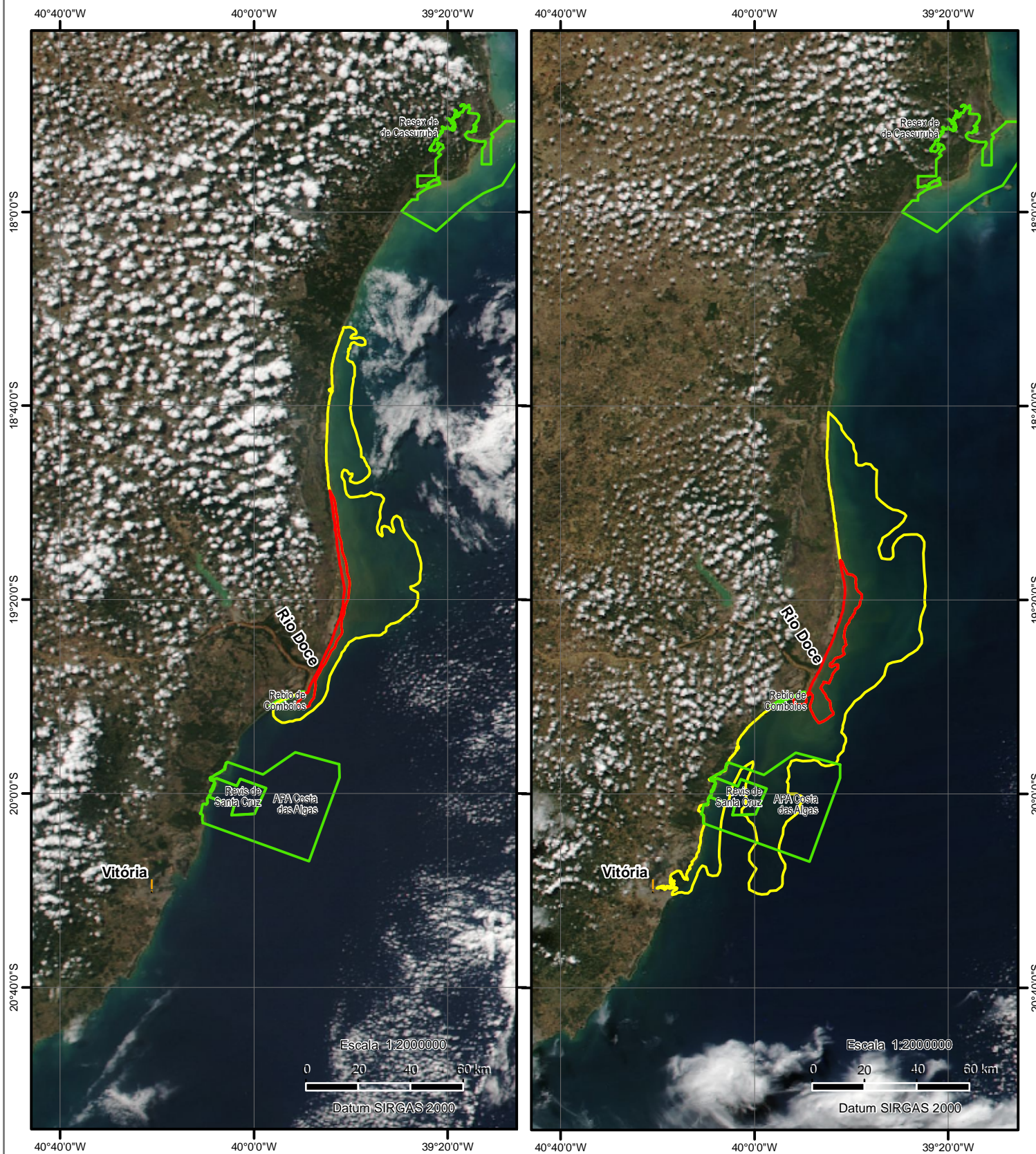
Mapa elaborado através da interpretação visual de imagens de satélite. Áreas de nuvem e sombra de nuvem são excluídas. Vários fatores influenciam o tamanho e a distribuição das plumas, tais como ventos superficiais, correntes, vazão e turbidez na foz do Rio Doce. Sob certas condições, trechos da pluma de baixa concentração podem decorrer dos sedimentos de outros rios que desaguam na região.

Mapa elaborado pelo Núcleo de Geoprocessamento e Monitoramento Ambiental da Superintendência do IBAMA no Estado de São Paulo  
- NUGEO/SP

### Legenda

- Pluma de sedimentos de maior concentração
- Pluma de sedimentos de menor concentração
- Unidades de Conservação Federais

## Plumas de Sedimentos - Foz do Rio Doce - 05/05/16 e 09/05/16



### Estimativa de área dos polígonos (km<sup>2</sup>)

05/05/16

- pluma de sedimentos de maior concentração: 129
- pluma de sedimentos de menor concentração: 1786

09/05/16

- pluma de sedimentos de maior concentração: 272
- pluma de sedimentos de menor concentração: 3586

Fonte: NUGEO/SP

Data de Detecção: 09/05/16

### Imagens de Fundo:

Esquerda: Suomi NPP/VIIRS Fonte: NASA/Worldview

Data: 05 de maio de 2016

Direita: Suomi NPP/VIIRS Fonte: NASA/Worldview

Data: 09 de maio de 2016

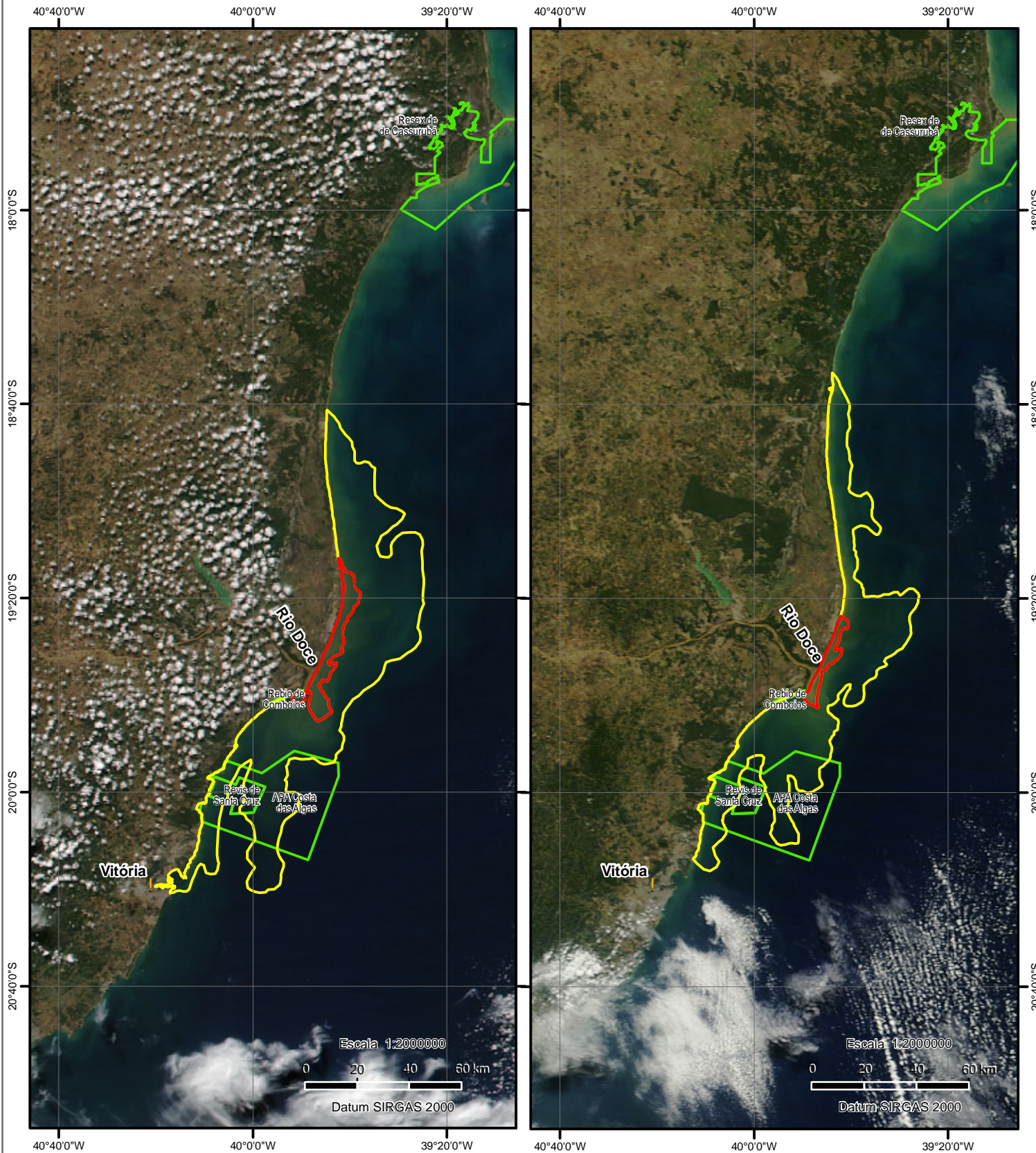
Mapa elaborado através da interpretação visual de imagens de satélite. Áreas de nuvem e sombra de nuvem são excluídas. Vários fatores influenciam o tamanho e a distribuição das plumas, tais como ventos superficiais, correntes, vazão e turbidez na foz do Rio Doce. Sob certas condições, trechos da pluma de baixa concentração podem decorrer dos sedimentos de outros rios que desaguam na região.

Mapa elaborado pelo Núcleo de Geoprocessamento e Monitoramento Ambiental da Superintendência do IBAMA no Estado de São Paulo  
- NUGEO/SP

### Legenda

- Pluma de sedimentos de maior concentração
- Pluma de sedimentos de menor concentração
- Unidades de Conservação Federais

## Plumas de Sedimentos - Foz do Rio Doce - 09/05/16 e 11/05/16



### Estimativa de área dos polígonos (km<sup>2</sup>)

09/05/16

- pluma de sedimentos de maior concentração: 272
- pluma de sedimentos de menor concentração: 3586

11/05/16

- pluma de sedimentos de maior concentração: 103
- pluma de sedimentos de menor concentração: 2672

Fonte: NUGEO/SP

Data de Detecção: 11/05/16

### Imagens de Fundo:

Esquerda: Suomi NPP/VIIRS Fonte: NASA/Worldview

Data: 09 de maio de 2016

Direita: Terra/MODIS Fonte: NASA/Worldview

Data: 11 de maio de 2016

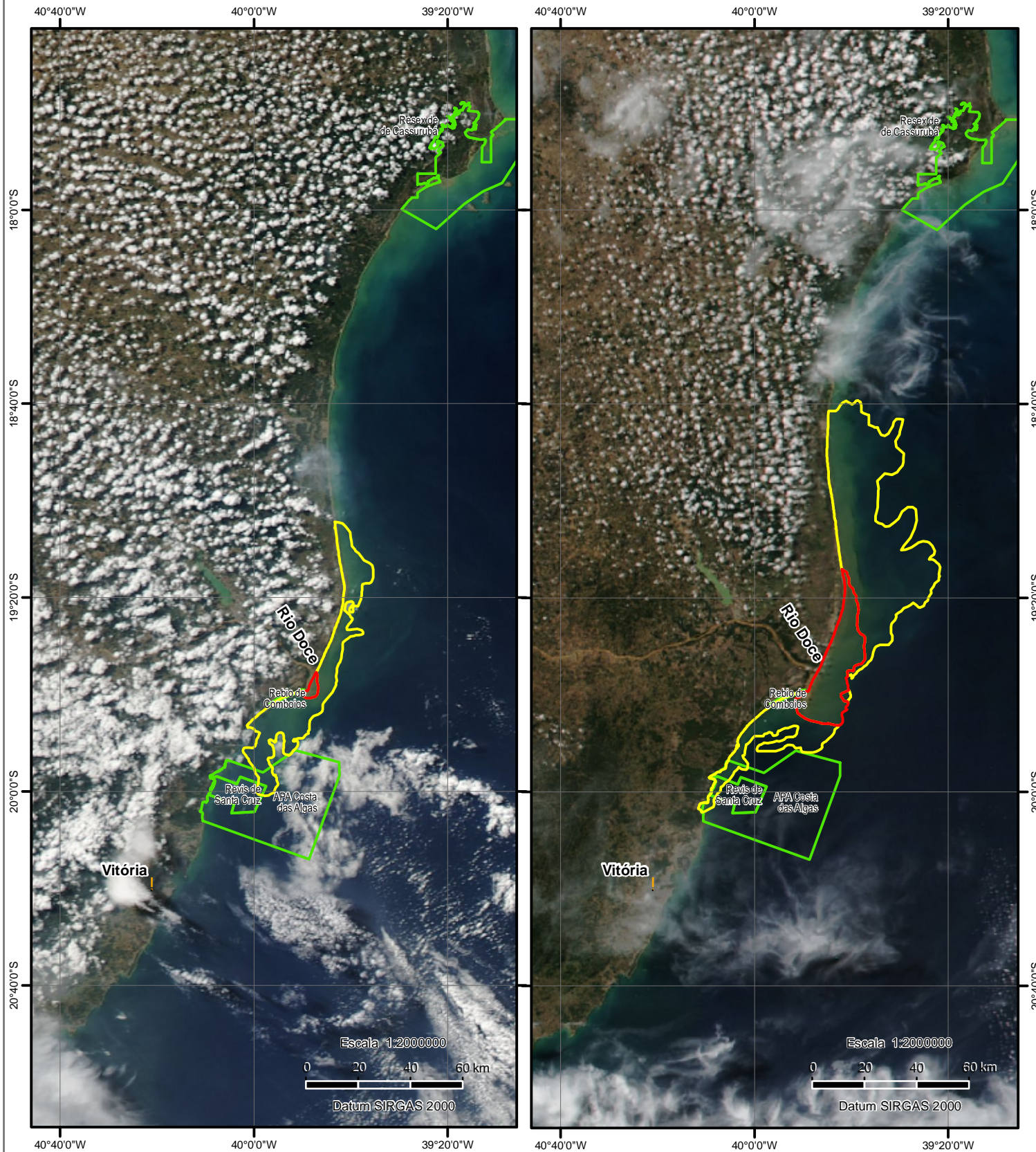
Mapa elaborado através da interpretação visual de imagens de satélite. Áreas de nuvem e sombra de nuvem são excluídas. Vários fatores influenciam o tamanho e a distribuição das plumas, tais como ventos superficiais, correntes, vazão e turbidez na foz do Rio Doce. Sob certas condições, trechos da pluma de baixa concentração podem decorrer dos sedimentos de outros rios que desaguam na região.

Mapa elaborado pelo Núcleo de Geoprocessamento e Monitoramento Ambiental da Superintendência do IBAMA no Estado de São Paulo  
- NUGEO/SP

### Legenda

- Pluma de sedimentos de maior concentração
- Pluma de sedimentos de menor concentração
- Unidades de Conservação Federais

## Plumas de Sedimentos - Foz do Rio Doce - 12/05/16 e 16/05/16



### Estimativa de área dos polígonos (km<sup>2</sup>)

12/05/16

- pluma de sedimentos de maior concentração: 25
- pluma de sedimentos de menor concentração: 829

16/05/16

- pluma de sedimentos de maior concentração: 530
- pluma de sedimentos de menor concentração: 2358

Fonte: NUGEO/SP

Data de Detecção: 16/05/16

### Imagens de Fundo:

Esquerda: Aqua/MODIS

Fonte: NASA/Worldview

Data: 12 de maio de 2016

Direita: Suomi NPP/VIIRS

Fonte: NASA/Worldview

Data: 16 de maio de 2016

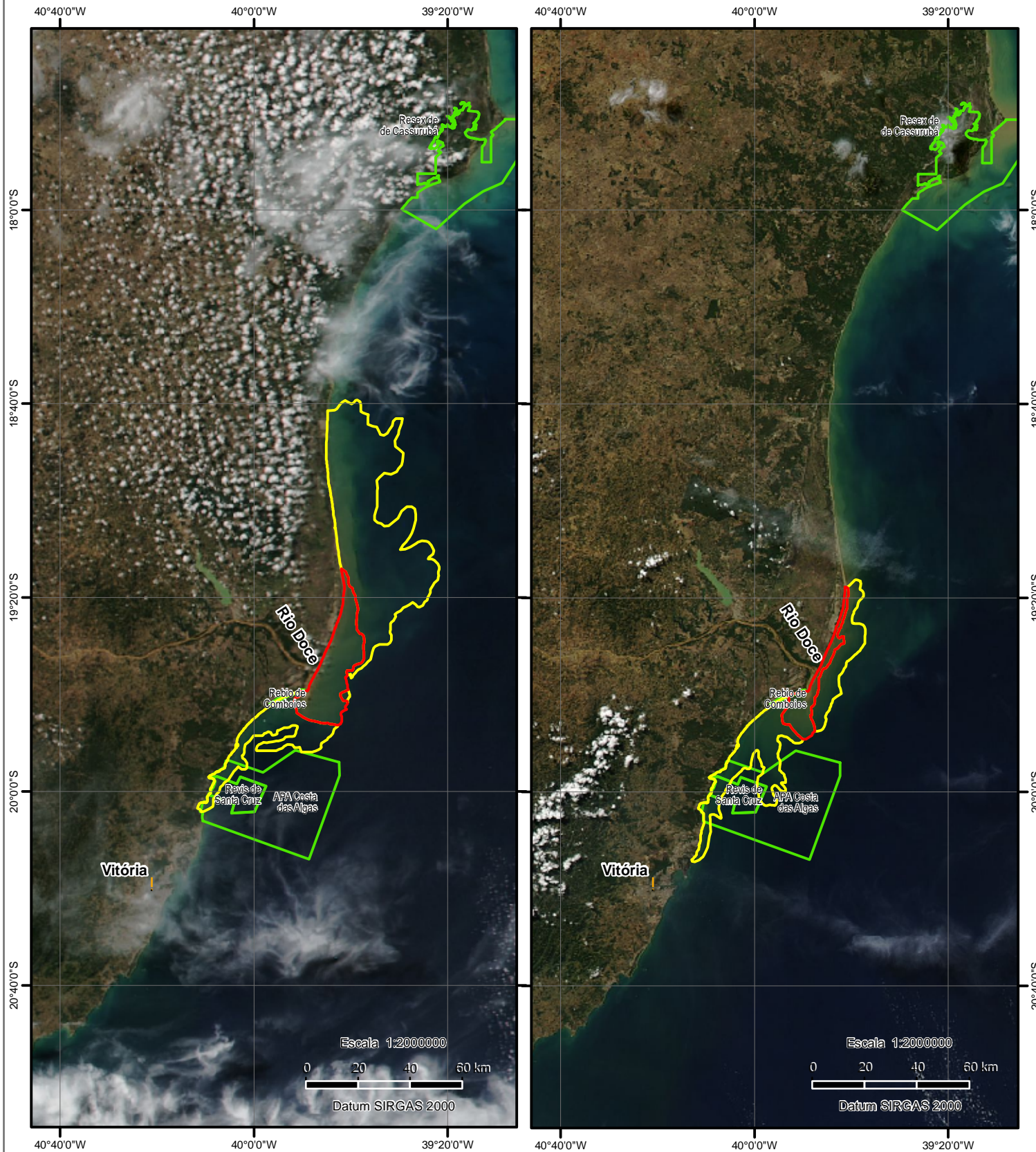
Mapa elaborado através da interpretação visual de imagens de satélite. Áreas de nuvem e sombra de nuvem são excluídas. Vários fatores influenciam o tamanho e a distribuição das plumas, tais como ventos superficiais, correntes, vazão e turbidez na foz do Rio Doce. Sob certas condições, trechos da pluma de baixa concentração podem decorrer dos sedimentos de outros rios que desaguam na região.

Mapa elaborado pelo Núcleo de Geoprocessamento e Monitoramento Ambiental da Superintendência do IBAMA no Estado de São Paulo  
- NUGEO/SP

### Legenda

- Pluma de sedimentos de maior concentração
- Pluma de sedimentos de menor concentração
- Unidades de Conservação Federais

## Plumas de Sedimentos - Foz do Rio Doce - 16/05/16 e 17/05/16



### Estimativa de área dos polígonos (km<sup>2</sup>)

16/05/16

- pluma de sedimentos de maior concentração: 530
- pluma de sedimentos de menor concentração: 2358

17/05/16

- pluma de sedimentos de maior concentração: 219
- pluma de sedimentos de menor concentração: 873

Fonte: NUGEO/SP

Data de Detecção: 17/05/16

### Imagens de Fundo:

Esquerda: Suomi NPP/VIIRS Fonte: NASA/Worldview

Data: 16 de maio de 2016

Direita: Aqua/MODIS Fonte: NASA/Worldview

Data: 17 de maio de 2016

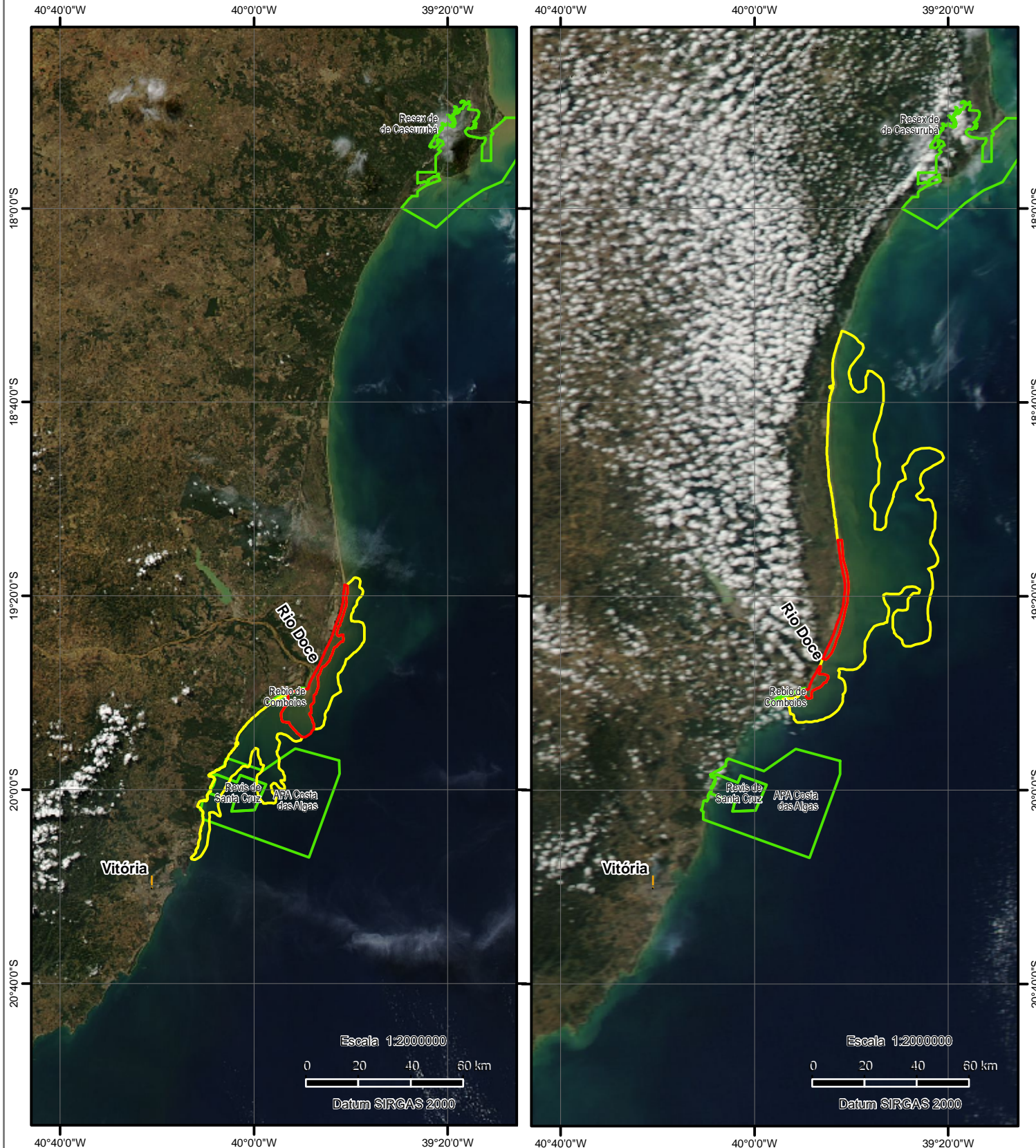
Mapa elaborado através da interpretação visual de imagens de satélite. Áreas de nuvem e sombra de nuvem são excluídas. Vários fatores influenciam o tamanho e a distribuição das plumas, tais como ventos superficiais, correntes, vazão e turbidez na foz do Rio Doce. Sob certas condições, trechos da pluma de baixa concentração podem decorrer dos sedimentos de outros rios que desaguam na região.

Mapa elaborado pelo Núcleo de Geoprocessamento e Monitoramento Ambiental da Superintendência do IBAMA no Estado de São Paulo  
- NUGEO/SP

### Legenda

- Unidades de Conservação Federais
- Pluma de sedimentos de maior concentração
- Pluma de sedimentos de menor concentração

## Plumas de Sedimentos - Foz do Rio Doce - 17/05/16 e 30/05/16



### Estimativa de área dos polígonos (km<sup>2</sup>)

17/05/16

- pluma de sedimentos de maior concentração: 219
- pluma de sedimentos de menor concentração: 873

30/05/16

- pluma de sedimentos de maior concentração: 97
- pluma de sedimentos de menor concentração: 2788

Fonte: NUGEO/SP

Data de Detecção: 30/05/16

### Imagens de Fundo:

Esquerda: Aqua/MODIS      Fonte: NASA/Worldview

Data: 17 de maio de 2016

Direita: Aqua/MODIS      Fonte: NASA/Worldview

Data: 30 de maio de 2016

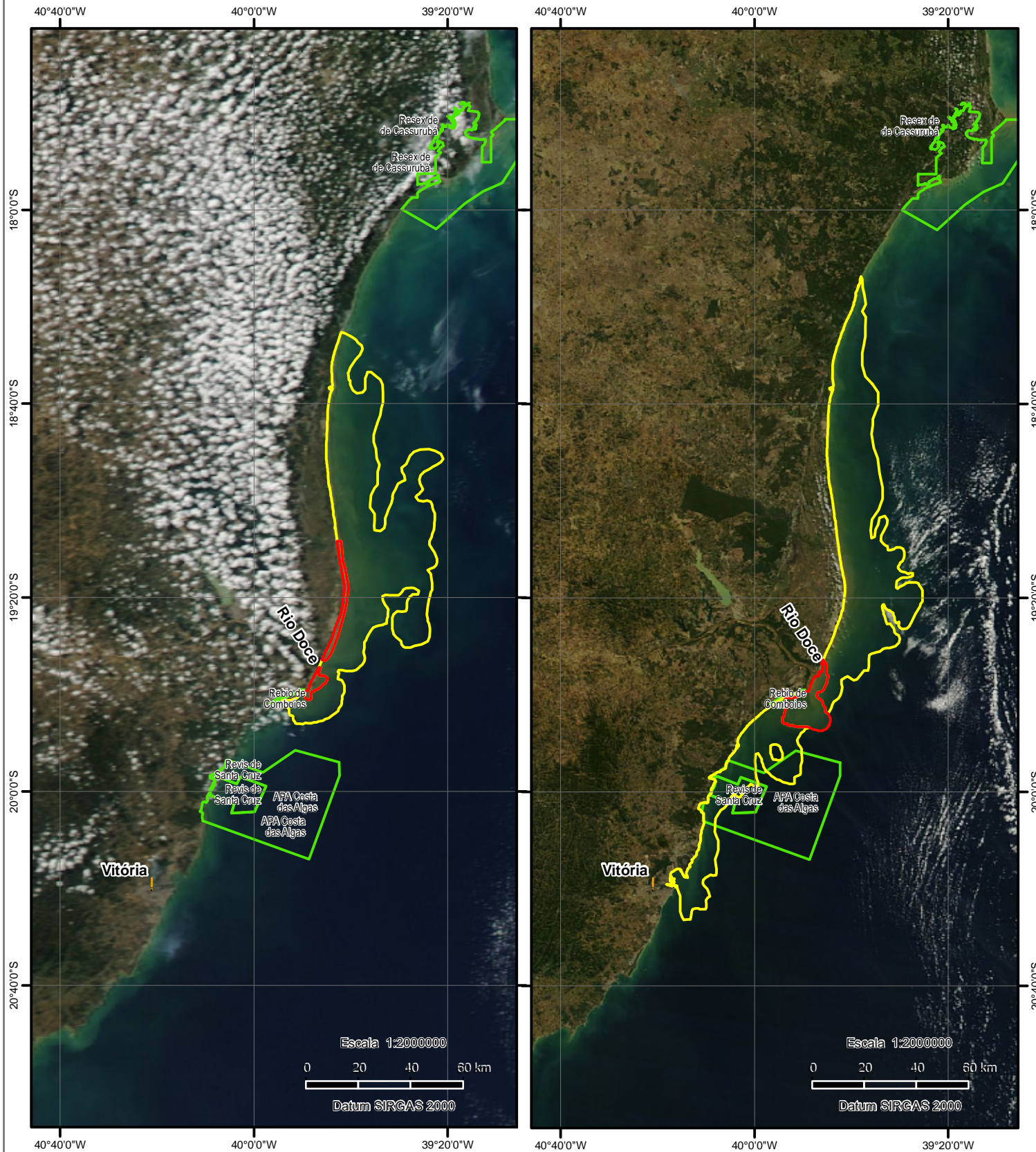
Mapa elaborado através da interpretação visual de imagens de satélite. Áreas de nuvem e sombra de nuvem são excluídas. Vários fatores influenciam o tamanho e a distribuição das plumas, tais como ventos superficiais, correntes, vazão e turbidez na foz do Rio Doce. Sob certas condições, trechos da pluma de baixa concentração podem decorrer dos sedimentos de outros rios que desaguam na região.

Mapa elaborado pelo Núcleo de Geoprocessamento e Monitoramento Ambiental da Superintendência do IBAMA no Estado de São Paulo  
- NUGEO/SP

### Legenda

- Pluma de sedimentos de maior concentração
- Pluma de sedimentos de menor concentração
- Unidades de Conservação Federais

## Plumas de Sedimentos - Foz do Rio Doce - 30/05/16 e 01/06/16



### Estimativa de área dos polígonos (km<sup>2</sup>)

30/05/16

- pluma de sedimentos de maior concentração: 97
- pluma de sedimentos de menor concentração: 2788

01/06/16

- pluma de sedimentos de maior concentração: 205
- pluma de sedimentos de menor concentração: 3192

Fonte: NUGEO/SP

Data de Detecção: 01/06/16

### Imagens de Fundo:

Esquerda: Aqua/MODIS      Fonte: NASA/Worldview

Data: 30 de maio de 2016

Direita: Terra/MODIS      Fonte: NASA/Worldview

Data: 01 de junho de 2016

Mapa elaborado através da interpretação visual de imagens de satélite. Áreas de nuvem e sombra de nuvem são excluídas. Vários fatores influenciam o tamanho e a distribuição das plumas, tais como ventos superficiais, correntes, vazão e turbidez na foz do Rio Doce. Sob certas condições, trechos da pluma de baixa concentração podem decorrer dos sedimentos de outros rios que desaguam na região.

Mapa elaborado pelo Núcleo de Geoprocessamento e Monitoramento Ambiental da Superintendência do IBAMA no Estado de São Paulo  
- NUGEO/SP

### Legenda

- Pluma de sedimentos de maior concentração
- Pluma de sedimentos de menor concentração
- Unidades de Conservação Federais